

طراحی و ساخت سازه‌ی E2-fliC با استفاده از زن fliC باکتری سالمونلا انتریکا و زن E2 ویروس هپاتیت C و بیان آن در سیستم یوکاریوتی

محمد مهدی سلطان دلال^۱, ابوالفضل کشاورز^۲, ابراهیم کرد^۳, نسترن انصاری^۳, زمانه حاجی خضری^۳, کتایون صمیمی راد^۴

چکیده

زمینه و هدف: امروزه یکی از راهکارهای طراحی واکسن، تهیه فیوژن پروتئینهای حاصل از عوامل ایمونوژن عافونی با پروتئین ادجوانت می‌باشد. مطالعه‌ی حاضر برای طراحی و ساخت سازه‌ی E2-fliC به عنوان کاندید واکسن با استفاده از زن fliC باکتری سالمونلا انتریکا و زن E2 ویروس هپاتیت C و بیان آن در سیستم یوکاریوتی اجرا گردید.

روش بررسی: در این مطالعه که به صورت یک تحقیق بنیادی-کاربردی است، برای ساخت سازه‌ی E2-fliC دو قطعه‌ی E2 و fliC و از پلاسمیدهای pBluescript-fliC و pBluescript-E2 به روش PCR تکثیر شدند. برای تهیه پلاسمید نوترکیب pcDNA-E2-fliC ابتدا پلاسمید (+) pcDNA3.1(+)-DH5α از سلولهای DH5α در آن الحاق گردید. با تهیه پلاسمید نوترکیب pcDNA3.1-E2 در مرحله بعد الحاق قطعه‌ی fliC در آن انجام شد. برای ارزیابی بیان سازه‌ی E2-fliC در پلاسمید pEGFP-N3 pEGFP-الحاق گردید و ترانسفکشن پلاسمید نوترکیب pEGFPN3-E2-fliC به سلولهای COS-7 انجام شد تا بیان پروتئین در زیر میکروسکوپ فلورسنت با مشاهده‌ی نور سبز ارزیابی شود.

یافته‌ها: ظهور نور فلورسان سبز در سلولهای مورد مطالعه توسط میکروسکوپ فلورسنت، بیشترین بیان از ساختار E2-fliC را ۴۸ ساعت پس از ترانسفکشن نشان داد. به علاوه تهیه پلاسمید نوترکیب pcDNA-E2-fliC با روش PCR، برش آنزیمی و تووالی یابی تایید شد.

نتیجه گیری: یافته‌های ما پیشنهاد می‌کنند که فیوژن پروتئین E2-FliC به طور موثری بیان شده و ممکن است از لحاظ آنتی ژنیستیه بتواند همانند پروتئین E2 ویروس آلوه کننده، پس از ایمیونیزاسیون موش‌ها با pcDNA-E2-fliC و واکسن در تحریک سیستم ایمنی عمل کند.

واژه‌های کلیدی: زن fliC سالمونلا انتریکا، زن E2، ویروس هپاتیت C، بیان سازه‌ی E2-fliC، فیوژن پروتئین

دریافت مقاله: شهریور ۱۳۹۶
پذیرش مقاله: دی ۱۳۹۶

* نویسنده مسئول:
کتایون صمیمی راد؛
دانشکده بهداشت دانشگاه علوم پزشکی تهران

Email :
ksamimirad@tums.ac.ir

^۱ استاد گروه پاتوبیولوژی، بخش میکروب شناسی، دانشکده بهداشت، مرکز تحقیقات میکروبیولوژی مواد غذایی، دانشگاه علوم پزشکی تهران، ایران

^۲ دانشجوی کارشناسی ارشد میکروب شناسی مواد غذایی، گروه پاتوبیولوژی، دانشکده بهداشت، دانشگاه علوم پزشکی تهران، ایران

^۳ دانشجوی دکتری ویروس شناسی پزشکی، گروه ویروس شناسی، دانشکده بهداشت، دانشگاه علوم پزشکی تهران، ایران

^۴ دانشیار گروه ویروس شناسی، دانشکده بهداشت، دانشگاه علوم پزشکی تهران، ایران

مقدمه

اپی توب هایی برای تحریک ایمنی سلولار نیز دارد(۱۸).

با توجه به گزارش‌های موجود که از یک طرف حاکی از ویژگی ادجواناتی پروتئین FliC سالمونلاست و استفاده از آن را در واکسن‌های ویروسی با سازه‌ای مرکب از ژن فیوز شده fliC و ژن E2 آنتی ژن هدف مطرح می‌کند و از طرف دیگر پروتئین ۲ ویروس هپاتیت C را به عنوان یک ایمونوژن مناسب معرفی می‌کنند(۱۹)، مطالعه حاضر را با هدف ساخت سازه‌ای از ژن fliC در کنار ژن E2 ویروس هپاتیت C و سپس ارزیابی بیان پروتئین حاصل از این سازه انجام دادیم تا از آن در مطالعه‌ی بعدی به عنوان کاندید واکسن در ارزیابی ایمیونولوژیکی بر روی مدل حیوانی استفاده کنیم.

روش بررسی

• طراحی و ساخت سازه‌ی E2-fliC

این مطالعه به صورت یک طرح بنیادی-کاربردی با هدف طراحی و ساخت سازه‌ای شامل قطعه‌ی ژن E2 از ویروس هپاتیت C که کد کننده‌ی پروتئین ایمونوژن این ویروس است و قطعه‌ی ژن fliC از باکتری سالمونلا که کد کننده‌ی پروتئین فلاژلین به عنوان ادجوان است می‌باشد، صورت پذیرفت. برای طراحی سازه‌ی E2-fliC، توالی قطعه‌ی E2 از سویه استاندارد H77 ژنوتیپ 1a ویروس هپاتیت C با شماره بانک ژنی ۱AF011753.1 و توالی قطعه‌ی fliC از ۱۰۰۲ جفت نوکلوتید ابتدای ژن fliC باکتری سالمونلا با شماره بانک ژنی CJRW01000001 انتخاب گردید. از آنجا که سازه‌ی طراحی شده یک سازه‌ی بیانی است، لذا در ابتدا و انتهای سازه، کدون‌های آغاز و خاتمه قرار داده شد از نظر طراحی و بهینه سازی، سازه‌ی E2-fliC با نرم افزار BioEdit به صورت E2 pBluescript (+) به قطعه‌ی E2 و بخش مربوط به قطعه‌ی fliC به طور جداگانه در پلاسمید pBluescriptIISk به صورت E2 pBluescript-fliC سفارش داده شد و پس از دریافت، ابتدا نمونه‌ها طبق دستورالعمل همراه آنها در بافر TE آماده سازی شدند. جهت به دست آوردن قطعات E2 و fliC از pBluescript-fliC با نرم افزارهای PCR با نرم افزارهای Oligo7 و Primer Express طراحی شدند(جدول ۱) و پس از سفارش و دریافت، در بافر TE آماده شدند.

سالمونلاها انواع مختلفی از پروتئین فلاژلین تازک را بیان می‌کنند که مهمترین آنها پروتئین FliC است(۱). آنها متعلق به دسته‌ی ادجوانات‌های کموکاین/سایتوکاین هستند و می‌توانند ایمنی محافظت کننده‌ی موثری را ایجاد کنند. اثرات ادجواناتی آنها پاسخ ایمنی را به سمت هر دو پاسخ ایمنی سلولی و همورال سوق می‌دهد(۲-۵). آنچه که امروزه تولید فیوژن پروتئین های تشکیل شده از آنتی ژن و فلاژلین را در تحقیقات امکان پذیر کرده است، تعداد رو به افزایش مطالعاتی است که عملکرد فلاژلین را به عنوان یک ادجوانات و یک فعال کننده‌ی قوی برای طیف وسیعی از انواع سلول‌هایی که در ایمنی اکتسابی و ذاتی نقش دارند، تایید می‌کنند(۶). در حال حاضر از استراتژی فیوژن پروتئین‌ها در تهیه واکسن استفاده می‌شود و نتایج به دست آمده از تحقیقات صورت گرفته حاکی از آن است که این واکسن‌ها در مدل‌های حیوانی می‌توانند به صورت واکسن‌های موثری عمل کنند(۷-۱۰). از جمله خصوصیاتی که فلاژلین را به عنوان ادجوان، کاندید جذابی برای استفاده در ساختار واکسن‌های انسانی معرفی می‌کند، می‌توان از تحويل آنتی ژن به سیستم ایمنی، به طوری که پردازش آنتی ژن به خوبی صورت گیرد، عدم نیاز به دوز بالای آن، سمعی نبودن، سهولت تولید مقدار زیادی از پروتئین و عدم تخریب فعالیت ادجواناتی آن در صورت وجود ایمنی قبلی به آن نام برد(۱۱-۱۴).

امروزه تحقیق در زمینه‌ی تولید واکسن موثر برای پیشگیری و یا درمان عوامل عفونی از مهمترین اولویت‌های تحقیقاتی است(۱۵). پیشگیری از هپاتیت C به عنوان یکی از تهدیدات بهداشت عمومی از جمله این اولویت‌هاست(۱۶). به همین دلیل در حال حاضر بخش قابل توجهی از تحقیقات در زمینه‌ی ویروس هپاتیت C متوجه تهیه واکسن برای این ویروس می‌باشد. امروزه شواهد قوی وجود دارد که نقش مهم آنتی بادی‌های اختصاصی ویروس در بهبودی عفونت را نشان می‌دهد(۱۷). با توجه به این شواهد و به دلیل سابقه‌ی استفاده‌ی موفق از پروتئین‌های سطحی ویروس‌ها در طراحی واکسن، محققان پروتئین‌های سطحی ویروس هپاتیت C (E2, E1) را به عنوان کاندید ایمونوژن در تولید واکسن پیشگیری کننده‌ی هپاتیت C مورد بررسی قرار دادند. یافته‌های محققان نشان می‌دهد که پروتئین E2 ویروس هپاتیت C می‌تواند به عنوان یک ایمونوژن مناسب در طراحی واکسن استفاده شود، زیرا علاوه بر اپی توب‌های محرك ایمنی همورال،

جدول ۱: پرایمرهای مربوط به قطعات E2 و pBluescript II Sk (+) fliC باز تکثیر از

ردیف	نام قطعه	پرایمر	توالی (3' → 5')
۱	E2	Forward	GGCGCTAGCATGCTACTAGTAAATCAGTCAC
۲	E2	Reverse	TAGGATCCCTCGGACCTGTCCCTGTCTTC
۳	fliC	Forward	GGATCCATGGCACAAAGTCATTAATACAAAC
۴	fliC	Reverse	TCTAGATTAGGTACCTGCATAGCCACCATCAATAACC

در ۳۷ درجه سانتی گراد قرار گرفتند. از این سوسپانسیون سلولی در کشت داده شد. در مرحله‌ی بعد از کلنی‌های ایجاد شده LB agar به محیط LB broth و پلیت LB agar برده و گرمخانه گذاری گردید. استخراج پلاسمید نوترکیب pcDNA-E2 به وسیله‌ی کیت QIAprep Spin Miniprep انجام شد. استخراج، در ژل آگارز بارگذاری شد. برای تایید الحق قطعه‌ی E2 در استخراج، برش آنزیمی با آنزیم‌های BamHI و NheI و تهیه سازه بیانی pcDNA3.1 در ادامه به منظور تکثیر قطعه‌ی fliC انجام شد. در ژل آگارز بارگذاری شد. برای تکثیر این قطعه، برنامه ترمال سایکلر شیوه برنامه قطعه‌ی E2 تنظیم شد، با این تفاوت که دمای اتصال به مدت ۱ دقیقه در ۶۴ درجه سانتی گراد تنظیم گردید. محصول PCR در یک ژل آگارز بارگذاری شد. سپس بقیه سایکلر شیوه برنامه قطعه‌ی E2 تنظیم شد، با این تفاوت که دمای اتصال به مدت ۱ دقیقه در ۹۴ درجه سانتی گراد تنظیم گردید. استخراج، با کیت Qiaquick Gel Extraction (QIAGEN) انجام شد. در مرحله‌ی بعد برای تهیه pBluescript-fliC ابتدا سلول‌های باکتریایی DH5α حاوی پلاسمید pcDNA3.1-E2 در محیط LB broth کشت داده شدند و پس از گرمخانه گذاری در ۳۷ درجه سانتی گراد، سوسپانسیون باکتریایی سانتریفیوژ و رسوب باکتری جدا شد. پلاسمید DH5α به وسیله‌ی کیت QIAprep Spin Miniprep (QIAGEN) استخراج گردید و بخشی از محصول استخراج در ژل آگارز بارگذاری شد. پلاسمید pcDNA3.1 و قطعه‌ی E2 حاصل از PCR در دو میکروتیوب جداگانه با آنزیم‌های BamHI و NheI هضم آنزیمی شدند. قطعه‌ی E2 و (+) pDNA3.1(+) در Qiaquick Gel Extraction (Roche) انجام شد. آگارز بارگذاری شدند و با کیت T4 DNA Lیگاز (Shark) (Roche) استخراج شدند. سپس الحق قطعه‌ی E2 در برای تایید الحق قطعه‌ی E2 در pcDNA3.1(+) در DH5α حاصل از برش آنزیمی در ژل Qiaquick Gel Extraction (Roche) انجام شد. سلول‌های باکتریایی DH5α در ترانسفورم پلاسمید DH5α در pcDNA3.1-E2 در DH5α انجام شد. برای این منظور، محصول الحق به باکتری DH5α افزوده شد و پس از قرار دادن در یخ، در ۴۲ درجه سانتی گراد گذاشته شد. سلول‌های DH5α دریافت کننده‌ی پلاسمید به محیط LB broth اضافه شدند و سپس سوسپانسیون سلولی در LB agar کشت داده شد. از کلونی‌های

• تهیه سازه بیانی pcDNA3.1-E2-fliC

در ابتدا به منظور تکثیر قطعه‌ی E2 از پلاسمید pBluescript-E2 و تهیه سازه‌ی بیانی pcDNA3.1-E2، برای دستگاه ترمال سایکلر دمای واسرشت اولیه به مدت ۵ دقیقه در ۹۴ درجه سانتی گراد تنظیم شد و در هر چرخه از ۳۰ چرخه تکثیر، دمای واسرشت به مدت ۱ دقیقه در ۹۴ درجه سانتی گراد و دمای اتصال به مدت ۱ دقیقه در ۶۶ درجه سانتی گراد در هر چرخه به مدت ۱ دقیقه در ۷۲ درجه سانتی گراد تنظیم شد و نهایتاً دمای گسترش/طويل شدن پایانی به مدت ۷ دقیقه در ۷۲ درجه سانتی گراد در نظر گرفته شد. محصول حاصل از تکثیر در ژل آگارز بارگذاری شد. سپس بقیه محصول PCR در یک ژل آگارز جهت استخراج قطعه‌ی E2 بارگذاری گردید و با کیت Qiaquick Gel Extraction (QIAGEN) (QIAprep Spin Miniprep) مورد نظر استخراج شد. در مرحله‌ی بعد برای تهیه pcDNA3.1-E2 ابتدا سلول‌های باکتریایی DH5α حاوی پلاسمید pcDNA3.1-E2 در محیط LB broth کشت داده شدند و پس از گرمخانه گذاری در ۳۷ درجه سانتی گراد، سوسپانسیون باکتریایی سانتریفیوژ و رسوب باکتری جدا شد. پلاسمید DH5α به وسیله‌ی کیت QIAprep Spin Miniprep (QIAGEN) استخراج گردید و بخشی از محصول استخراج در ژل آگارز بارگذاری شد. پلاسمید pcDNA3.1 و قطعه‌ی E2 حاصل از PCR در دو میکروتیوب جداگانه با آنزیم‌های BamHI و NheI هضم آنزیمی شدند. قطعه‌ی E2 و (+) pDNA3.1(+) در Qiaquick Gel Extraction (Roche) انجام شد. آگارز بارگذاری شدند و با کیت T4 DNA Lیگاز (Shark) (Roche) استخراج شدند. سپس الحق قطعه‌ی E2 در برای تایید الحق قطعه‌ی E2 در pcDNA3.1(+) در DH5α حاصل از برش آنزیمی در ژل Qiaquick Gel Extraction (Roche) انجام شد. سلول‌های باکتریایی DH5α در ترانسفورم پلاسمید DH5α در pcDNA3.1-E2 در DH5α انجام شد. برای این منظور، محصول الحق به باکتری DH5α افزوده شد و پس از قرار دادن در یخ، در ۴۲ درجه سانتی گراد گذاشته شد. سلول‌های DH5α دریافت کننده‌ی پلاسمید به محیط LB broth اضافه شدند و



و در ۳۷ درجه سانتی گراد با ۵ درصد CO₂ قرار گرفتند. بدین ترتیب برای انجام ترانسفکشن، سلول COS-7 به مقدار کافی فراهم شد.

• ترانسفکشن پلاسمید نوترکیب pEGFPN3-E2-fliC به سلول های COS-7

محیط کشت از فلاسک حاوی کشت سلول های COS-7 خارج شد و سلول ها با PBS استریل شستشو داده شدند. پس از تریپسینه کردن و تهیه رسوب سلولی، سلول ها در ۱ میلی لیتر محیط کشت RPMI یکنواخت شدند. از آنجا که در هر چاهک از پلیت چهارخانه، 4×10^5 سلول مورد نیاز است، ابتدا شمارش سلولی انجام شد. بدین منظور سوسپانسیون سلولی به نسبت یک به ده با تریپان بلو مخلوط شد و سپس به کمک لام نئوبار سلول های زنده شمارش شدند. تعداد 10^4 سلول در حجم ۵ میلی لیتر به هر چاهک از پلیت چهارخانه اضافه شد و پلیت ها در ۳۷ درجه سانتی گراد با ۵ درصد CO₂ گرمانه گذاری شدند. برای ارزیابی ترانسفکشن پس از ۴۸، ۲۴ و ۷۲ ساعت، سه پلیت چهارخانه در نظر گرفته شد. سپس مخلوطی شامل ۵ میکروگرم از پلاسمید pEGFPN3-E2-fliC در بافر (HEPES-Buffered saline) HBS و پلی اتیلن ایمین (PEI) ۱۰ میکرومولار برای NrE هفت به عنوان تست تهیه گردید و از چاهک های سلولی ترانسفکت نشده به عنوان کنترل منفی استفاده شد. ۲۰۰ میکرولیتر از هر کمپلکس به چاهک های سه پلیت چهارخانه ای اضافه شد و به مدت ۶ ساعت در ۳۷ درجه سانتی گراد گرمانه گذاری شدند. پس از این مدت، محیط کشت هر چاهک خارج شد و با محیط فاقد سرم، یکبار شستشو داده شد. سپس محیط RPMI واجد سرم به هر چاهک اضافه شد و پلیت ها برای ۴۸، ۲۴ و ۷۲ ساعت به صورت جداگانه در ۳۷ درجه سانتی گراد قرار داده شدند. پلیت های مورد نظر پس از زمان های مشخص، در زیر میکروسکوپ فلورسانس مشاهده شدند. به این ترتیب بیان پروتئین در زیر میکروسکوپ فلورسانس مشاهده نور سبز ارزیابی گردید.

یافته ها:

• تکثیر ژن E2 و تهیه سازه بیانی COS-7

جهت جداسازی قطعه ژنی E2 از پلاسمید pBluescript-E2 آزمایش PCR بر روی پلاسمید pBluescript-E2 انجام شد و پس از بارگذاری محصول PCR بر روی ژل آگارز، با کیت Qiaquick Gel Extraction باشد قطعه ای E2 از ژل استخراج و بخشی از آن در ژل آگارز بارگذاری شد(شکل 1A). قطعه ای E2 حاصل از PCR و پلاسمید pcDNA3.1(+)- استخراج شده از

حاصل به محیط LB agar و پلیت LB broth و گرمانه گذاری شدند. استخراج پلاسمید نوترکیب pcdNA-E2-fliC به وسیله‌ی کیت QIAprep Spin Miniprep انجام شد و محصول استخراج، در ژل pcDNA3.1-E2-fliC در آگارز بارگذاری شد. برای تایید الحق قطعه ای E2 برش آنزیمی با آنزیم های BamHI و XbaI انجام شد.

• تهیه سازه بیانی pEGFP-N3-E2-fliC

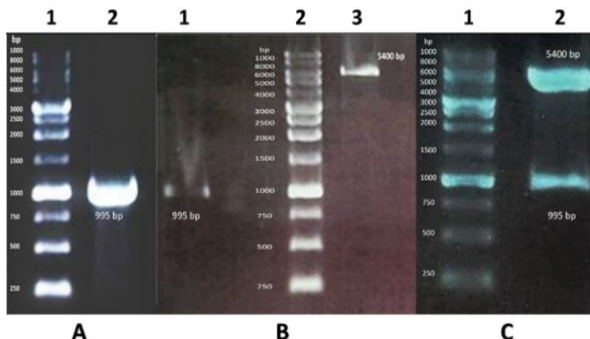
برای ارزیابی بیان سازه ای E2-fliC، این سازه در پلاسمید pEGFP-N3 انجام گردید. بدین منظور ابتدا باکتری E.Coli TOP-10 حاوی پلاسمید pEGFP-N3 و باکتری E.Coli DH5α باکتری DH5α با کیت pcDNA3.1-E2-fliC کشت داده شدند. استخراج پلاسمید pEGFP-N3 از سلول های TOP-10 و پلاسمید QIAprep Spin miniprep با کیت DH5α از سلولهای pcDNA-E2-fliC انجام شد، سپس پلاسمید نوترکیب pcDNA3.1-E2-fliC و پلاسمید pEGFP-N3 با آنزیم های KpnI و NheI در دو مرحله برش خوردن و بخشی از محصول برش آنزیمی در ژل آگارز بارگذاری شد و اثر برش های آنزیمی بررسی شد. باندهای مربوط به سازه ای E2-fliC pEGFP-N3 هضم آنزیمی شده، از ژل استخراج شدند. الحق سازه E2-fliC در pEGFP-N3 با آنزیم T4 DNA لیگاز صورت گرفت و محصول الحق که پلاسمید نوترکیب pEGFP-N3-E2-fliC بود در DH5α ترانسفورم گردید. پس از انجام مراحلی مشابه آنچه در مورد pEGFP-N3-E2-fliC دو سازه ای بیانی قبلی گفته شد، پلاسمید نوترکیب pEGFP-N3-E2-fliC در LB broth و LB agar کشت داده شد و در نهایت برای تایید الحق سازه E2-fliC در pEGFP-N3 از ۸۰ تا ۷۰ درصد کف آن از سلول های مذکور پوشیده شد، سلولهای کف پلیت با PBS استریل شستشو داده شدند. ۲ میلی لیتر تریپسین به فلاسک اضافه شد و با ضربات آرامی که به فلاسک وارد شد، سلول ها از کف فلاسک جدا شدند. به منظور غیرفعال کردن تریپسین، مقداری محیط کشت کامل به فلاسک اضافه شد و محتویات فلاسک به فالکون ۵۰ میلی لیتری منتقل گردید. پس از سانتریفیوژ، رسوب سلولی در محیط کشت کامل یکنواخت شد و با توجه به مقدار سلولی که داشتیم، سلول ها در فلاسک های کشت جدید تقسیم شدند

• آماده سازی و کشت سلول های یوکاریوتی COS-7

برای بیان سازه ای E2-fliC در سلول های یوکاریوتی COS-7، ابتدا قطعه ای E2-fliC برای تعیین توالی ارسال شد و سپس در نرم افزار CLC بررسی گردید. برای تهیه فلاسک حاوی سلولهای COS-7 وقتی که ۷۰ تا ۸۰ درصد کف آن از سلول های مذکور پوشیده شد، سلولهای کف پلیت با PBS استریل شستشو داده شدند. تریپسین به فلاسک اضافه شد و با ضربات آرامی که به فلاسک وارد شد، سلول ها از کف فلاسک جدا شدند. به منظور غیرفعال کردن تریپسین، مقداری محیط کشت کامل به فلاسک اضافه شد و محتویات فلاسک به فالکون ۵۰ میلی لیتری منتقل گردید. پس از سانتریفیوژ، رسوب سلولی در محیط کشت کامل یکنواخت شد و با توجه به مقدار سلولی که داشتیم، سلول ها در فلاسک های کشت جدید تقسیم شدند

ترانسفورم محصول الحق در سلول های DH5 α انجام شد، برای تایید الحق، پلاسمید نوترکیب pcDNA-E2 تحت تاثیر برش با آنزیم های BamHI و NheI قرار گرفت و بخشی از محصول برش آنزیمی در ژل آگارز بارگذاری شد(شکل 1C).

سلول های DH5 α در دو میکروتیوب جداگانه، با آنزیم های NheI و BamHI برش خوردن و پس از بارگذاری در ژل آگارز، با کیت Qiaquick Gel Extraction از ژل استخراج شدند و بخشی از محصولات استخراج در ژل آگارز بارگذاری شد(شکل 1B). سپس قطعه E2 در E2 pcDNA3.1 با آنزیم T4 DNA لیگاز الحق و



شکل ۱: تکثیر ژن E2 و تهیه سازه بیانی pcDNA3.1-E2

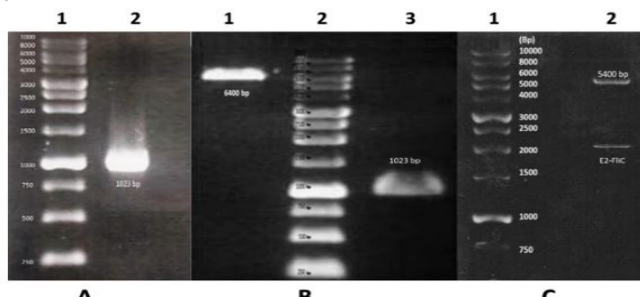
(A) تایید استخراج قطعه E2 به دست آمده به روش PCR از ژل آگارز؛ ستون ۱ نشانگر اندازه مولکولی، ستون ۲ قطعه E2 حاصل از استخراج محصول PCR (B) تایید استخراج قطعه E2 و پلاسمید pcDNA3.1 هضم آنزیمی شده با آنزیم BamHI و NheI از ژل آگارز؛ ستون ۱ قطعه E2 استخراج شده از ژل آگارز؛ ستون ۲ نشانگر اندازه مولکولی، ستون ۳ استخراج شده از ژل آگارز.

(C) تایید الماقع قطعه E2 در پلاسمید pcDNA3.1 با آنزیم T4 DNA لیگاز؛ ستون ۱ نشانگر اندازه مولکولی، ستون ۲ پلاسمید pcDNA3.1 و ژن E2 که تمت تاثیر برش پلاسمید نوترکیب E2 در پلاسمید pcDNA3.1 با آنزیم BamHI و NheI ایجاد شده اند.

خوردند و پس از بارگذاری در ژل آگارز، با کیت Qiaquick Gel Extraction از ژل استخراج شدند و بخشی از محصولات استخراج در ژل آگارز بارگذاری شد(شکل 2B). سپس قطعه E2 pcDNA3.1-E2-fliC در PCR با آنزیم T4 DNA لیگاز الحق و ترانسفورم محصول الحق در سلول های DH5 α انجام شد. برای تایید الحق، پلاسمید نوترکیب XbaI و NheI قرار گرفت و بخشی از محصول برش آنزیمی در ژل آگارز بارگذاری شد(شکل 2C).

• تکثیر ژن fliC و تهیه سازه بیانی pcDNA3.1-E2-fliC

جهت جداسازی قطعه ژنی fliC از پلاسمید pBluescript-fliC بر روی PCR انجام شد و پس از آزمایش PCR بر روی ژل آگارز، با کیت Qiaquick Gel Extraction بارگذاری محصول PCR بر روی ژل آگارز، با کیت Qiaquick Gel Extraction باند قطعه fliC از ژل استخراج و بخشی از آن در ژل آگارز بازگذاری گردید(شکل 2A). قطعه fliC حاصل از PCR و پلاسمید pcDNA3.1-E2 استخراج شده از سلول های DH5 α در دو میکروتیوب جداگانه و همزمان با دو آنزیم BamHI و XbaI برش



شکل ۲: تکثیر ژن fliC و تهیه سازه بیانی pcDNA3.1-E2-fliC

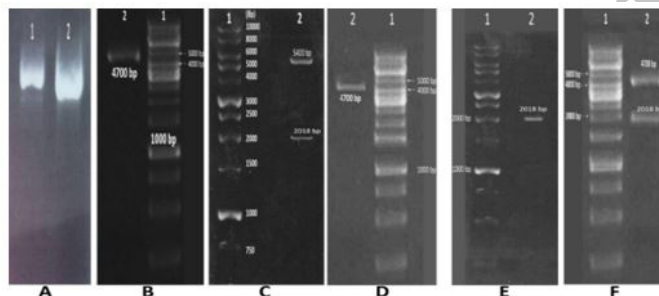
(A) تایید استخراج قطعه fliC به دست آمده به روش PCR از ژل آگارز؛ ستون ۱ نشانگر اندازه مولکولی، ستون ۲ قطعه fliC حاصل از استخراج PCR (B) تایید استخراج fliC و قطعه E2 pcDNA3.1-E2-fliC هضم آنزیمی شده با دو آنزیم BamHI و XbaI از ژل آگارز؛ ستون ۱ پلاسمید pcDNA3.1-E2 استخراج شده از ژل آگارز؛ ستون ۲ نشانگر اندازه مولکولی، ستون ۳ استخراج شده از ژل آگارز.

(C) تایید الماقع قطعه fliC در پلاسمید pcDNA3.1-E2-fliC به روش آنزیمی؛ ستون ۱ نشانگر اندازه مولکولی، ستون ۲ پلاسمید pcDNA3.1-E2-fliC و سازه ۱۸ مگاپوت نوكلئوتیدی E2-fliC که تمت تاثیر برش پلاسمید نوترکیب pcDNA3.1-E2-fliC با آنزیم XbaI و NheI ایجاد شده اند.

بارگذاری در ژل آگارز با کیت Qiaquick Gel Extraction استخراج شدن و بخشی از محصول استخراج در ژل آگارز بارگذاری شد(شکل 3D و 3E). پس از تعیین توالی سازه E2-fliC (شکل 4) سازه در پلاسمید pEGFP-N3 با آنزیم T4 DNA لیکاز الحق و ترانسفورم محصول الحق در DH5 α انجام شد. برای تایید الحق قطعه *fliC* در پلاسمید pEGFP-N3 و تایید وجود سازه E2-fliC در آن، پلاسمید نوترکیب pEGFPN3-E2-fliC تحت تاثیر برش با آنزیم های *NheI* و *KpnI* قرار گرفت و بخشی از محصول برش آن بهم در ژل آگارز بارگذاری شد(شکل 3F).

• تهیه سازه بیانی pEGFPN3-E2-fliC

برای الحاق سازه E2-fliC در پلاسمید pEGFP-N3 پلاسمید نوترکیب E.Coli DH5 α از pcDNA-E2-fliC و پلاسمید pEGFP-N3 از E.Coli TOP-10 استخراج شدند و بخشی از محصول استخراج پلاسمیدها در ژل آگارز بارگذاری شد(شکل 3A). پلاسمید نوترکیب pcDNA-E2-fliC و پلاسمید pEGFP-N3 در دو میکروتیوب جداگانه و در دو مرحله با آنزیم های *KpnI* و *NheI* برش خوردن و بخشی از محصل برsh آنزیمی در ژل آگارز بارگذاری شد(شکل 3B). پلاسمید pEGFP-N3 هضم آنزیمی شده و قطعه E2-fliC حاصل از هضم آنزیمی pcDNA-E2-fliC پس از



شکل ۳: تهیه سازه بنانی pEGFPN3-E2-fliC

(A) تایید استخراج پلاسمیدهای pcDNA3.1-E2-fliC و pEGFPN3 از سلول های پاکتیریائی؛ ستون ۱ پلاسمید pcDNA3.1-E2-fliC استخراج شده از DH5 α .
ستون ۲ پلاسمید pEGFPN3 استخراج شده از TOP-10.

(B) تایید هضم آنزیمی پلاسمید pEGFP-N3 با آنزیم های *KpnI* و *NheI*؛ ستون ۱ نشانگر اندازه مولکولی، ستون ۲ پلاسمید pEGFP-N3 هضم آنزیمی شده.

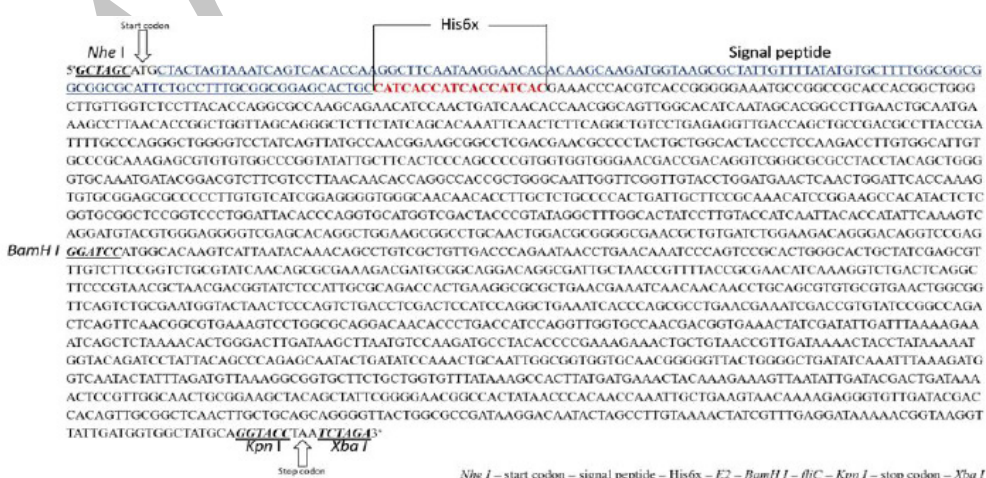
(C) تایید هضم آنزیمی پلاسمید نوترکیب pcDNA3.1-E2-fliC با آنزیم های *KpnI* و *NheI*؛ ستون ۱ نشانگر اندازه مولکولی، ستون ۲ باند های E2-fliC
pcD-۹ حاصل از هضم آنزیمی پلاسمید NA3.1 .pcDNA-E2-fliC

(D) تایید استخراج pEGFP-N3 هضم آنزیمی شده از ژل آگار؛ ستون ۱ نشانگر اندازه مولکولی، ستون ۲ pEGFP-N3 استخراج شده از ژل آگار.

(E) تایید استخراج قطعه های E2-fliC هضم آنزیمی شده از ژل آگار؛ ستون ۱ نشانگر اندازه مولکولی، ستون ۲ سازه های E2-fliC استخراج شده از ژل آگار.

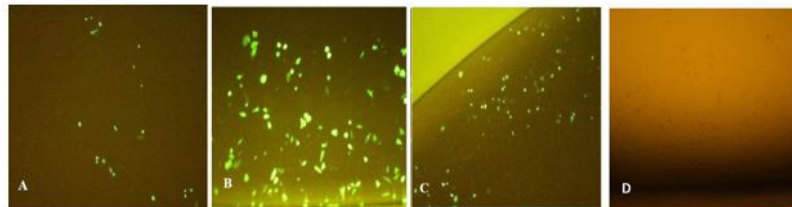
(F) تایید الماق قطعه های pEGFP-N3 در پلاسمید E2-fliC به روشن آنژیمی؛ ستون ۱ نشانگر اندازه مولکولی، ستون ۲ باند های N3 و pEGFP-N3 استخراج شده از ژل آگار.

تمت ثابتیابی، آنژیمی، پلاسمید نوترکیب pEGFP-N3-E2-fliC با آنژیم های *KpnI* و *NheI* اینماد شده اند.



شکل ۴: توالی نوکلئوتیدی سازه‌ی E2-fli است. سازه‌ی E2 از آنچه آنzyme *NheI* شروع شده، به دنبال آن کدون آغاز، سیگنال پیتید، توالی نوکلئوتیدی شش اسید آمینه هیستیدین و توالی نوکلئوتیدی ۶ن E2 قرار گرفته است. آنچه از آنzyme *BamHI* فتم شده و پس از آن ۶ن *fliC* قرار گرفته است. در انتهای، ۳' سازه هایگاه آنzyme *XbaI* کodon فاتمه و هایگاه آنzyme *KpnI* قرار گرفته است.

حاوی پلاسمیدهای pEGFP-N3-E2-fliC یا pEGFPN3-E2-fliC به بافر HBS و PEI در چاهک های پلیت کشت سلولی، بررسی پلیت ها در زمان های مختلف، بهترین بیان پروتئین GFP را در ۴۸ ساعت پس از ترانسفکشن در زیر میکروسکوپ فلورسانست نشان داد(شکل ۵).



شکل ۵: تایید بیان سازه‌ی E2-fliC در سلول های COS-7.

(A) بیان GFP در سلول های ترانسفکت شده با پلاسمید نوترکیب pEGFP-N3-E2-fliC پس از ۲۴ ساعت.

(B) بیان GFP در سلول های ترانسفکت شده با پلاسمید نوترکیب pEGFP-N3-E2-fliC پس از ۴۸ ساعت.

(C) بیان GFP در سلول های ترانسفکت شده با پلاسمید نوترکیب pEGFP-N3-E2-fliC پس از ۷۲ ساعت.

(D) سلولهای کنترل منفی (ترانسفکت نشده).

از ژن E2 گزارش های سال های اخیر است که پیشنهاد می کنند که پیشگیری برای این ویروس نیازمند واکسنی است که بتواند پاسخ همورال قوی علیه ویروس ایجاد کند(۲۱) و نتایج به دست آمده از تحقیقات هم نشان می دهد که پاسخ آنتی بادی علیه پروتئین E2 در بدن میزان آلوده می تواند ویروس هپاتیت C را خنثی کند و فرد آلوده را در مقابل ویروس حفاظت نماید(۲۰). با توجه به این نکته که هدف از ساخت سازه‌ی E2-fliC استفاده از آن به عنوان کاندید واکسن و ایجاد ایمنی در مدل موشی در مطالعات بعدی است، بدین ترتیب برای ایجاد ایمنی و ارزیابی آن بیان سازه ساخته شده در مدل حیوانی صورت بگیرد. در این راستا برای اطمینان از بیان این فیوژن پروتئین در مدل حیوانی نیاز بود که در مرحله اول سلول یوکاریوتیک، بیان آن کلون شود و پس از ترانس فکشن در یک سلول یوکاریوتیک، بیان آن مشاهده شود. همان طور که در نتایج ذکر شد بیان این فیوژن پروتئین با استفاده از میکروسکوپ فلورسان به کمک حضور GFP در ساختار پلاسمید pEGFP-N3 به عنوان گزارشگر در امتداد و فریم ساختار E2-fliC در سلول های COS-7 تایید شد. به علاوه بیان GFP در زمان های ۲۴، ۴۸ و ۷۲ ساعت پس از ترانس فکشن، بیشترین بیان از ساختار E2-fliC را در ۴۸ ساعت پس از ترانس فکشن نشان داد. با در نظر گرفتن بررسی های قبلی که بر اساس تهیه سازه هایی از بعضی از پروتئین های ویروس هپاتیت C به غیر از پروتئین E2 و در مواردی هم همراه با ادجوانی به جز FliC بوده است، تا آنچاکه ما مطلع هستیم این اولین گزارش استفاده از FliC سالمونولا به عنوان ادجوانی همراه با E2 ویروس هپاتیت C می باشد. در این مطالعه در تهیه سازه

• تایید بیان سازه‌ی pEGFPN3-E2-fliC در سلول های COS-7

پس از ترانسفکشن پلاسمید نوترکیب pEGFP-N3-E2-fliC در سلول های یوکاریوتی COS-7 و افزودن ۲۰۰ میکرولیتر از مخلوط

بحث

با توجه به عملکرد FliC به عنوان یک ادجوانی مناسب برای طیف وسیعی از سلول های دارای نقش در ایمنی اکتسابی و ذاتی (۶) محققان متعددی در تحقیقات خود فیوژن پروتئین هایی تشکیل شده از آنتی ژن خارجی و FliC را طراحی و تولید کرده اند و از آنها در تهیه واکسن استفاده کرده و پاسخ های ایمنی ایجاد شده از آنها را ارزیابی نموده اند. از جمله این تحقیقات می توان از مطالعه‌ی Skountzou و همکاران نام برد که با استفاده از فلازیلین سالمونولا به صورت ادجوانی یک واکسن مخاطی، توانستند محافظت در افرادی که در اپیدمی های آنفلونزا به این ویروس آلوده شده بودند را افزایش دهند(۲۰). در گزارش دیگری Delaney و همکاران در تحقیق خود واکسنی از فیوژن پروتئین تشکیل شده از فلازیلین سالمونولا و پروتئین L1R ویروس واکسینیا تهیه کردند. نتایج آنها نشان داد که واکسن تهیه شده توانست پاسخ آنتی بادی قوی را در موش هایی که با این واکسن ایمیون شده بودند، ایجاد کند و به دنبال آن محافظت بسیار خوبی را علیه ویروس واکسینیا در این موش های ایمیون شده مشاهده کردند(۹). نتایج مشابهی نیز توسط Zhang و همکاران در رابطه با اثر ادجوانی فلازیلین سالمونولا در کنار بعضی از آنتی ژن های خارجی مثل آنتی ژن های ویروسی گزارش شده است(۱۹). با توجه به نتایج به دست آمده از این تحقیقات و نقش ادجوانی فلازیلین، در مطالعه‌ی حاضر از ژن fliC در ساختار سازه‌ی طراحی شده استفاده کردیم. به علاوه ژن E2 ویروس هپاتیت C را به عنوان آنتی ژن خارجی در فیوژن با ژن fliC در این ساختار قرار دادیم (E2-fliC). علت استفاده



E2-fliC از همین الگو پیروی کردیم.

نتیجه گیری

یافته‌های ما پیشنهاد می‌کنند که فیوژن پروتئین E2-fliC به طور موثری بیان شده و از لحاظ آنتی ژنیستیه ممکن است مثل پروتئین E2 در ساختار ویروس آلوود کننده در تحریک سیستم ایمنی عمل کند. بدین ترتیب فیوژن پروتئین E2-fliC به منظور ارزیابی آنتی ژنیستیه E2 و نقش ادجوانی FliC سالمونلا برای اهداف واکسن می‌تواند در مطالعات آینده استفاده شود. پیشنهاد می‌شود تا ساختار و مورفولوژی پروتئین فیوژن E2-fliC و همچنین اثر ادجوانی FliC سالمونلا در پروتئین فیوژن E2-fliC در مدل حیوانی ارزیابی گردد. ارزیابی پاسخ ایمنی و چالش با سوش ویروس هپاتیت C در مدل حیوانی و ارزیابی پاسخ ایمنی و چالش با سوش ویروس هپاتیت C در کشت سلول Huh7.5 برای گسترش تحقیقات واکسن نیز پیشنهاد می‌گردد.

تشکر و قدردانی

این مقاله نتیجه‌ی بخشی از طرح تحقیقاتی مرکز تحقیقات میکروبیولوژی مواد غذایی، مصوب دانشگاه علوم پزشکی و خدمات بهداشتی درمانی تهران، به شماره قرارداد ۳۲۶۱۴ مورخ ۹۵/۵/۲۶ می‌باشد.

E2-fliC، توالی E2 را قبل از انتهای آمنی فلازلین قرار دادیم. علت فیوژن توالی E2 با انتهای آمنی فلازلین سالمونلا این بود که تحقیقات صورت گرفته‌ی قبلی نشان می‌دهند که در موارد تهیه فیوژن پروتئین با فلازلین، ایجاد یا عدم ایجاد آنتی بادی‌های محافظت کننده، به شدت تحت تاثیر تشکل فضایی آنتی ژن در داخل فیوژن پروتئین می‌باشد و تشکل فضایی آنتی ژن نیز کاملاً وابسته به موقعیت توالی آن نسبت به فلازلین سالمونلا در ساختار سازه است. در صورتی که در طراحی فیوژن پروتئین آنتی ژن خارجی در موقعیت نامناسب نسبت به پروتئین فلازلین قرار بگیرد، مثلاً بجای اینکه مکان آن در انتهای کربوکسیلی توالی آنتی ژن طراحی شود، در ابتدای سازه، قبل از انتهای آمنی قرار بگیرد می‌تواند تشکل فضایی را در آنتی ژن ایجاد کند که آنتی بادی علیه آنتی ژن ایجاد نشود و یا آنتی بادی‌های ایجاد شده، آنتی ژن را شناسایی نکنند^(۶). به عنوان مثال جایگایی ناحیه بسیار متغیر فلازلین با پروتئین L1R واکسینیا منجر به تولید واکسینی شد که آنتی بادی علیه L1R ایجاد نکرد ولی وقتی که توالی L1R در انتهای آمنی فلازلین قرار گرفت، آنتی بادی‌ها ایجاد شدند و به خوبی با آنتی ژن واکنش نشان دادند^(۹). اگر چه امکان پیش‌بینی قطعی در مورد اینکه آیا یک مکان خاص از فلازلین حتماً مناسب یک آنتی ژن خاص می‌باشد، وجود ندارد، ولی گزارش‌ها حاکی از آن است که برای ایجاد یک فیوژن پروتئین، قرار گرفتن آنتی ژن در انتهای آمنی فلازلین یک نقطه شروع بسیار مناسب است^(۶). به همین جهت مانیز در طراحی سازه‌ی

منابع

1. Braga CJ, Massis LM, Sbrogio-Almeida ME, Alencar BC, Bargieri DY, Boscardin SB, et al. CD8+ T cell adjuvant effects of *Salmonella fliCd* flagellin in live vaccine vectors or as purified protein. Vaccine 2010; 28(5): 1373-82.
2. Wang G, Shi B, Li T, Zuo T, Wang B, Si W, et al. Linear antigenic mapping of flagellin (fliC) from *Salmonella enterica* serovar Enteritidis with yeast surface expression system. Veterinary Microbiology 2016; 184(1): 20-6.
3. Rady HF, Dai G, Huang W, Shellito JE & Ramsay AJ. Flagellin encoded in gene-based vector vaccines is a route-dependent immune adjuvant. Available at: <http://journals.plos.org/plosone/article?id=10.1371/journal.pone.0148701>. 2016.
4. Honko AN & Mizel SB. Mucosal administration of flagellin induces innate immunity in the mouse lung. Infection and Immunity 2004; 72(11): 6676-9.
5. Nguyen CT, Hong SH, Sin JI, Vu HV, Jeong K, Cho KO, et al. Flagellin enhances tumor-specific CD8+ T cell immune responses through TLR5 stimulation in a therapeutic cancer vaccine model. Vaccine 2013; 31(37): 3879-87.
6. Pandey JP. Comment on "Flagellin as an adjuvant: Cellular mechanisms and potential". Journal of Immunology 2011; 186(3): 1299.
7. Song L, Zhang Y, Yun NE, Poussard AL, Smith JN, Smith JK, et al. Superior efficacy of a recombinant flagellin: H5N1 HA globular head vaccine is determined by the placement of the globular head within flagellin. Vaccine 2009; 27(42): 5875-84.

8. Mizel SB, Graff AH, Sriranganathan N, Ervin S, Lees CJ, Lively MO, et al. Flagellin-F1-V fusion protein is an effective plague vaccine in mice and two species of nonhuman primates. *Clinical and Vaccine Immunology* 2009; 16(1): 21-8.
9. Delaney KN, Phipps JP, Johnson JB & Mizel SB. A recombinant flagellin-poxvirus fusion protein vaccine elicits complement-dependent protection against respiratory challenge with vaccinia virus in mice. *Viral Immunology* 2010; 23(2): 201-10.
10. Hiriart Y, Rossi AH, Biedma ME, Errea AJ, Moreno G, Cayet D, et al. Characterization of structural and immunological properties of a fusion protein between flagellin from *Salmonella* and Lumazine synthase from *Brucella*. *Protein Science* 2017; 26(5): 1049-59.
11. Weimer ET, Ervin SE, Wozniak DJ & Mizel SB. Immunization of young African green monkeys with OprF epitope 8-OprI-type A- and B-flagellin fusion proteins promotes the production of protective antibodies against nonmucoid *pseudomonas aeruginosa*. *Vaccine* 2009; 27(48): 6762-9.
12. Honko AN, Sriranganathan N, Lees CJ & Mizel SB. Flagellin is an effective adjuvant for immunization against lethal respiratory challenge with *Yersinia pestis*. *Infection and Immunity* 2006; 74(2): 1113-20.
13. Ben-Yedidya T & Arnon R. Effect of pre-existing carrier immunity on the efficacy of synthetic influenza vaccine. *Immunology Letters* 1998; 64(1): 9-15.
14. Honko AN & Mizel SB. Effects of flagellin on innate and adaptive immunity. *Immunologic Research* 2005; 33(1): 83-101.
15. Carlsen THR, Scheel TKH, Ramirez S, Foung SKH & Bukh J. Characterization of Hepatitis C Virus recombinants with chimeric E1/E2 envelope proteins and identification of single amino acids in the E2 stem region important for entry. *Journal of Virology* 2013; 87(3): 1385-99.
16. Von Delft A, Donnison TA, Lourenco J, Hutchings C, Mullarkey CE, Brown A, et al. The generation of a simian adenoviral vectored HCV vaccine encoding genetically conserved gene segments to target multiple HCV genotypes. *Vaccine* 2018; 36(2): 313-21.
17. Vietheer PT, Boo I, Gu J, Mccaffrey K, Edwards S, Owczarek C, et al. The core domain of Hepatitis C Virus glycoprotein E2 generates potent cross-neutralizing antibodies in guinea pigs. *Hepatology* 2017; 65(4): 1117-31.
18. Torresi J, Johnson D & Wedemeyer H. Progress in the development of preventive and therapeutic vaccines for Hepatitis C Virus. *Journal of Hepatology* 2011; 54(6): 1273-85.
19. Zhang L, Pan Z, Kang X, Yang Y, Kang H, Zhang N, et al. Amino acids 89-96 of *Salmonella* Typhimurium flagellin represent the major domain responsible for TLR5-independent adjuvanticity in the humoral immune response. *Cellular & Molecular Immunology* 2015; 12(5): 625-32.
20. Baumert TF, Fauville C, Chen DY & Lauer GM. A prophylactic Hepatitis C Virus vaccine: A distant peak still worth climbing. *Journal of Hepatology* 2014; 61(1): 34-44.
21. Major ME. Prophylactic and therapeutic vaccination against Hepatitis C Virus (HCV): Developments and future perspectives. *Viruses* 2009; 1(2): 144-65.



Design and Construction of E2-fliC Construct Using *fliC* Gene from *Salmonella Enterica* and E2 Gene from Hepatitis C Virus and its Expression in Eukaryotic System

Mohammad Mehdi Soltan Dallal¹ (Ph.D.) - Abolfazl Keshavarz²
(B.S.) - Ebrahim Kord³ (M.S.) - Nastaran Ansari³ (M.S.) - Zamaneh Hajikhezri³ (M.S.) - Katayoun Samimi-Rad⁴ (Ph.D.)

1 Professor, Pathobiology Department, Microbiology Division, School of Public Health, Food Microbiology Research Center, Tehran University of Medical Sciences, Tehran, Iran

2 Master of Science Student in Food Microbiology, Pathobiology Department, School of Public Health, Tehran University of Medical Sciences, Tehran, Iran

3 Ph.D. Candidate in virology, Medical Virology Department, School of Public Health, Tehran University of Medical Sciences, Tehran, Iran

4 Associate Professor, Medical Virology Department, School of Public Health, Tehran University of Medical Sciences, Tehran, Iran

Abstract

Received: Aug 2017

Accepted: Dec 2017

Background and Aim: At the present time one of the strategies in vaccine design is generation of fusion proteins containing (including) immunogen of infectious agents and adjuvants. In this study design and construction of E2-fliC fragment as a vaccine candid was conducted by using *fliC* gene from *Salmonella enterica* and E2 gene from hepatitis C virus.

Materials and Methods: To prepare the E2-fliC construct, E2 and *fliC* fragments were first amplified from pBluscript-E2 and pBluscript-fliC, respectively by PCR method. To generate pcDNA-E2-fliC plasmid, E2 was subcloned into plasmid pcDNA3.1 (+) which was extracted from DH5 α cells. The *fliC* sequence was then cloned into the pcDNA3.1-E2. To evaluate the expression of E2-fliC construct, it was inserted into the pEGFP-N3 expression vector. Then COS-7 cells were transfected with pEGFPN3- E2-fliC to evaluate the expression of the fusion protein by observation of the EGFP signal under the fluorescence microscope.

Results: By development of GFP fluorescent using fluorescence microscopy the most expression of E2-fliC construct was observed at 24h after transfection. The accuracy of the recombinant plasmid pcDNA-E2-fliC was confirmed by PCR, restriction enzymes and DNA sequencing.

Conclusion: Our findings suggest that E2-FliC fusion protein has expressed efficiently and most likely similar to HCV E2 protein induces immune system of mice after their immunization with pcDNA-E2-fliC.

Keywords: *fliC* Gene, *Salmonella enterica*, E2 Gene, Hepatitis C Virus, Expression of E2-FliC, Fusion Protein

* Corresponding Author:

Samimi-Rad K

Email:

ksamimirad@tums.ac.ir